

建設省 土木研究所 正員 足立義雄
 大阪工業大学 正員 関村宏一
 東洋技術コンサルタント 正員 島田 功

1. まえがき: 最近、土木の分野においても、構造物から発生する騒音の問題が、環境問題の一つとして注目されており、今後、この分野の研究の必要性が増大するものと思われる。従来、走行車両による橋床版の研究のほとんどどのものが、主として強度的な観点に立っており、音響制御的な観点に立ったものは少ない。

音響制御的な観点に立って道路橋床版の振動特性をとらえようすれば、それよりの解析上の配慮が加味されねばならない。たとえば、特に低周波域においては、橋架の伸縮装置から誘導される振動が問題になる場合もあり¹⁾、従来の解析例に見られるような単純支持などの簡単な条件の導入が許されず、また、床版と結合している骨組構造の拘束条件が十分に考慮されねばならないことである。本報告は、以上のような観点を踏まえ、合成桁橋と上路トラス橋の構造について、伸縮装置の近く、床版と桁組の荷載的関連、またトラス橋の場合における主構部のせん断変形などを考慮した立体解析によって床版の固有振動のモードを詳細に求め、つぎに、モーダルアナリシスによって走行車両による床版の低周波域における振動発生を解析し、騒音体としてのスラブの振動性状を検討したものである。

2. 自由振動の立体解析:

構造物と合成式より床版の自由振動の方程式は、面内

方向、慣性力と無視するとき次のようにあらわされる。

$$D \left(\frac{\partial^4 w}{\partial x^4} + 2 \frac{\partial^4 w}{\partial x^2 \partial y^2} + \frac{\partial^4 w}{\partial y^4} \right) - P h w^3 w = -q_u + \frac{t}{2} \frac{\partial^2 s_u}{\partial x^2}, \quad t \left(\frac{\partial^4 \phi}{\partial x^4} + 2 \frac{\partial^4 \phi}{\partial x^2 \partial y^2} + \frac{\partial^4 \phi}{\partial y^4} \right) = \sqrt{\frac{254}{\partial x^2}} \frac{\partial^2 \phi}{\partial y^2} S u d n$$

ここで、 D は床版の曲げ剛度、 \downarrow はダッシュド、 t は床版厚、 P は床版の質量、 w はたわみ、 s は面内力の応力関数、 w は円振動数である。本解法では、図-1に示すように、床版と桁の相互間に作用する不静定力の分布を、細かく分割された区间で等分布する垂直力と水平力の重ね合わせによって与える。またに、伸縮装置の境界条件を作り出すための調整力として、床版に設けた解析上の拘束領域内の小エッジ区间に、強さ P_r 、荷重 m_r の線荷重と線モーメントを作用させる。このようにして相対的に自由、剛性単純支持の单一板から、端部の境界に接した端点では曲げに拘束して自由な条件を、さらに主桁との合歓面上に接した端点では、桁子構造としての桁組との連絡条件を与える。

3. 二のようになして構成された行列式を導いて円振動数 w を計算し、固有元 $-1/f$ を求める。

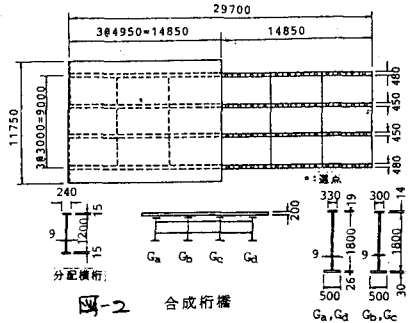


図-2 合成桁橋

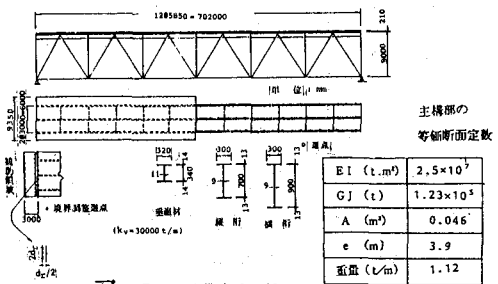


図-3 上路トラス橋

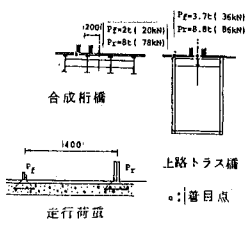


図-4 車両走行位置と着目点

3. 道路橋床版の動的応答:

図-2, 3に計算の対象とした橋梁を示す。解析による基本振動数は、桁橋で3.7Hz、上路トラス橋では2.0Hzであった。これに対し、実測値はそれぞれ3.9Hz、および2.5Hzであった。

輪荷重の大きさ、走行位置、および応答解析の着目点を図-4に示した。図-5は、桁橋のエパン中央の応答波形である。上路トラス橋の応答波形を図-6に示す。図-7のように、両橋の周波数分析結果で、実測データも併記した。なお、分析サンプリング区間は、後輪が着目点を通過する0.5秒間である。

4.まとめ:得られた結論の主なものはつきのとおりである。
 ①大型車両の走行による加速度レベルは、支間30mの桁橋で約3dB程度となった。一方、支間20mの上路トラス橋では90dB前後となり、特に伸縮装置に車両が進入した時に大きくなり、反対側の端部に進むに従って漸減する傾向が見られる。

②単純支持形式として扱った桁橋の応答波形は、約3.5Hzの基本振動モードが卓越する。一方上路トラス橋では、支間中央走行時には、2Hzの基本振動モードのほかに、1.5Hz, 2.5Hzが卓越し、また車両が伸縮装置を通過する際には、1.5Hz, 3.0Hzが卓越する。

③上路トラス橋では、車両が伸縮装置を通過すると、衝撃的な波形が現われ、これが橋脚方向に伝播している。したがって、このような橋梁の振動にともなう空気振動は、橋梁全体から放射される結果にちると思われる。
 ④トラス橋の橋脚直角方向の振動について見ると、車両が伸縮装置を通る時、橋脚の中央での振動レベルが高く、主構上では低くなることから、床版の曲げ振動が発生していることがわかる。これと③に示した事実は、車両部、ならびに中间部での横行による構造の柔軟性を示唆するものといえる。

土木における音響制御の分野の問題は、建築などの分野と異なり、やはり土木固有の構造物にかかわる問題であり、今後さらに検討されるべき課題といえる。

1) Kaneyasu,K., Adachi,Y., Koyasu,M. and Shimizu,S.: Investigations on the radiation of low frequency sound from highway bridge, Inter-noise 81, Amsterdam, Holland, pp.321-324 (1981).

2) 足立,岡村:橋梁振動にともなう3次元空気波動の解析, 第36回年次学術講演会概要工-189, 土木学会(昭56),

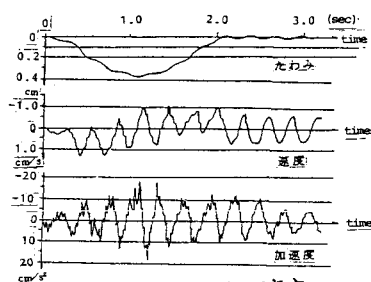


図-5 合成橋(支間中央)
対数減衰率=0.05

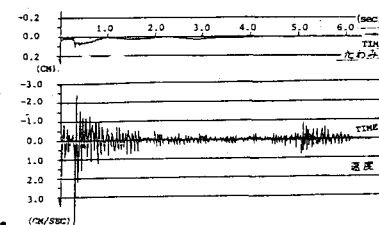


図-6(a) 支間中央(B点)
対数減衰率=0.1

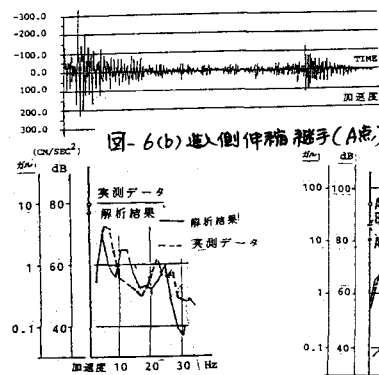


図-6(b) 進入側伸縮装置上(A点)

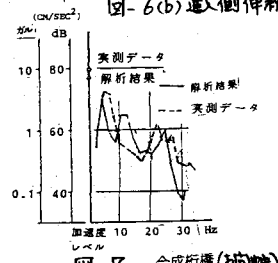
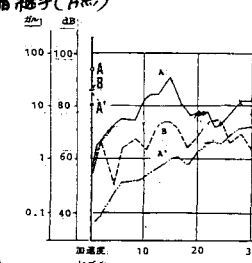
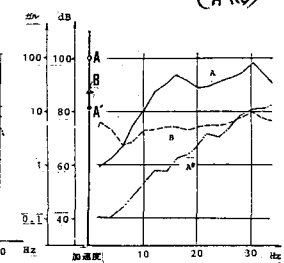


図-7 合成橋(支間中央)



(a) 解析結果 上路トラス橋



(b) 実測データ